

# Ayudantía

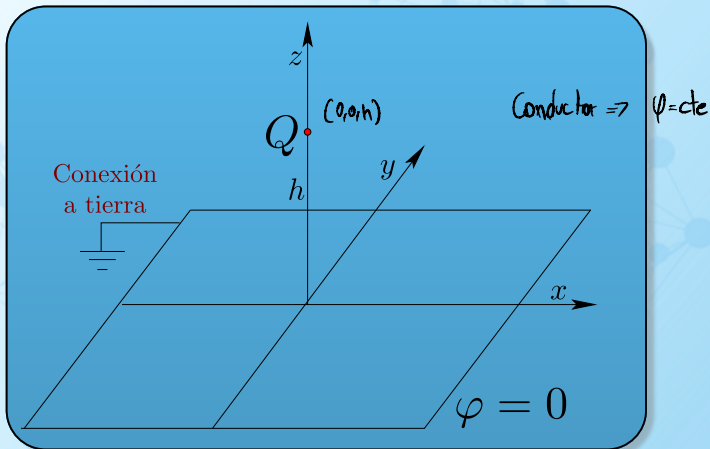
## Conductores

Ayudante: Tomás Veas  
13 de julio de 2024

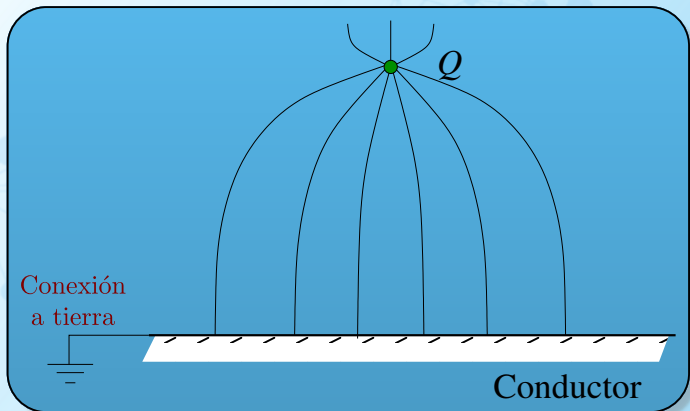


# CARGA Y UN PLANO CONDUCTOR

- En el siguiente sistema queda en evidencia la movilidad de las cargas en un conductor.

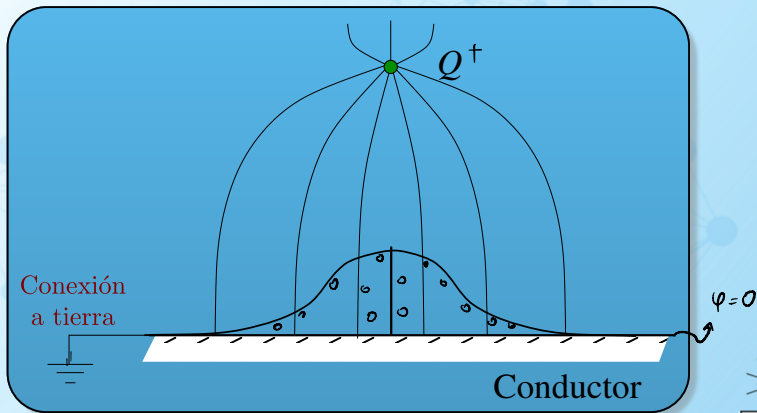


- ¿Qué tipo de campo eléctrico debemos esperar?

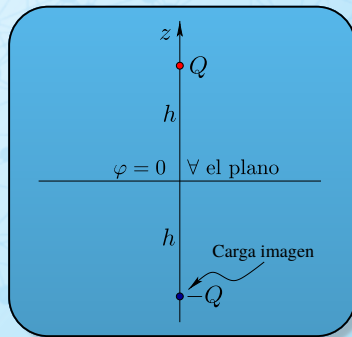




- ¿Qué tipo de distribución de carga eléctrica debemos esperar?



- Consideremos otro sistema, con sólo dos cargas puntuales equidistantes del plano  $xy$ .
- La carga original  $Q$  y una carga “imagen”  $-Q$ . La carga imagen **no es real** es sólo un artificio matemático.



- El potencial para este nuevo sistema

$$\varphi(x, y, z) = \frac{\overset{\text{real}}{Q}}{(x^2 + y^2 + (z - h)^2)^{1/2}} + \frac{\overset{\text{imagen}}{-Q}}{(x^2 + y^2 + (z + h)^2)^{1/2}} .$$

## El método de imagen

Este método podría llamarse “ajuste del contorno de la solución”.



Volvamos al problema original 



- Consideremos el potencial anterior como la solución del problema de una carga  $Q$  a una altura  $h$  sobre un plano conductor, en  $z = 0$ , a potencial nulo, es decir planteamos como solución para  $z \geq 0$ ,

$$\varphi(x, y, z) = \frac{Q}{(x^2 + y^2 + (\cancel{z-h})^2)^{1/2}} + \frac{-Q}{(x^2 + y^2 + (z+h)^2)^{1/2}} \cdot$$

$z = 0$



## SOLUCIÓN DEL PROBLEMA ORIGINAL

- Claramente el potencial propuesto es solución de la ecuación de Laplace, es decir,  $\nabla^2\varphi = 0$ .

$$\nabla^2\varphi = 4\pi\rho$$

- Además, el potencial satisface la condición de borde sobre el plano  $xy$ , es decir para  $z = 0$  el potencial es nulo.

- Por lo anterior, es **la solución del problema**.



- A partir de potencial encontrado podemos derivar el campo eléctrico para la región  $z \geq 0$ ,

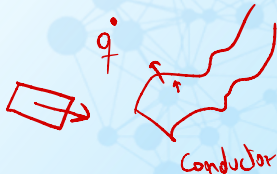
$$\begin{aligned}
 \vec{E}(x, y, z) = -\vec{\nabla}\varphi(x, y, z) = & \\
 & \left[ \frac{xQ}{(x^2 + y^2 + (z - h)^2)^{3/2}} - \frac{xQ}{(x^2 + y^2 + (z + h)^2)^{3/2}} \right] \hat{x} + \\
 & + \left[ \frac{yQ}{(x^2 + y^2 + (z - h)^2)^{3/2}} - \frac{yQ}{(x^2 + y^2 + (z + h)^2)^{3/2}} \right] \hat{y} + \\
 & + \left[ \frac{(z - h)Q}{(x^2 + y^2 + (z - h)^2)^{3/2}} - \frac{(z + h)Q}{(x^2 + y^2 + (z + h)^2)^{3/2}} \right] \hat{z} .
 \end{aligned}$$

$(0, 0, h)$   
 $Q$ 
 $(0, 0, -h)$   
 $-Q$



- Evaluamos el campo sobre el plano, es decir,  $z = 0$ ,

$$\vec{E}(x, y, z = 0) = 0 \hat{x} + 0 \hat{y} - \frac{2hQ}{(x^2 + y^2 + h^2)^{3/2}} \hat{z},$$



$$= - \frac{2hQ}{(x^2 + y^2 + h^2)^{3/2}} \hat{z}.$$



- El campo es normal a la superficie, tal como se esperaba.

Condiciones de borde



# LA DENSIDAD SUPERFICIAL DE CARGA



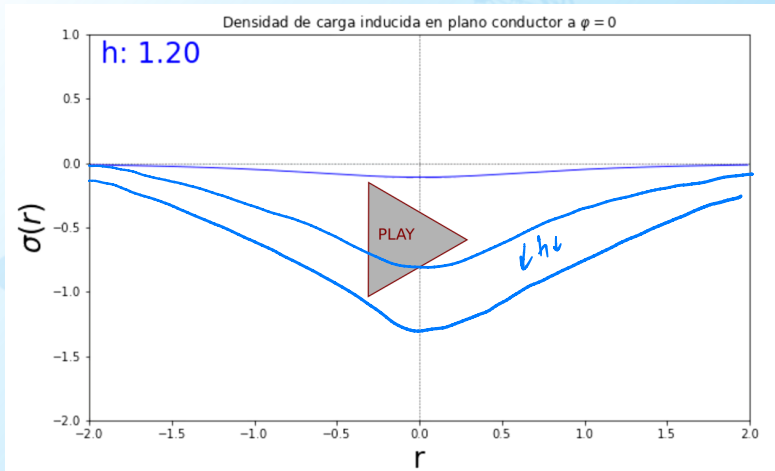
- Para mantener el plano  $xy$  a potencial cero se debe inducir una densidad superficial de carga  $\sigma(x, y)$  sobre el plano

$$\sigma(x, y) = \frac{E_z(x, y)}{4\pi} = \frac{-Qh}{2\pi(x^2 + y^2 + h^2)^{3/2}}$$

- La carga superficial total  $q_T$  debe valer  $-Q$ . Como comprobación podríamos integrar para toda la superficie y ver que ocurre.



# LA DENSIDAD SUPERFICIAL DE CARGA



● Integramos sobre toda la superficie con el cambio de variable,  $r^2 = x^2 + y^2$ .

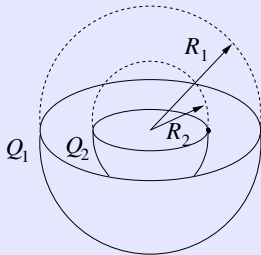
$$\begin{aligned}
 q_T &= \int \sigma da, & \text{Diagram: A circle with a vertical line through its center. Above it, the expression } \iint dr d\phi \text{ is written, with an arrow pointing down to } r dr d\phi. \\
 &= \int_0^{2\pi} \int_0^\infty \sigma(r) r dr d\phi = 2\pi \int_0^\infty \frac{-Qhr}{2\pi(r^2 + h^2)^{3/2}} dr, \\
 &= \int_0^\infty \frac{-Qhr dr \cdot 2}{(r^2 + h^2)^{3/2}} = -Qh \left[ \frac{-1}{(r^2 + h^2)^{1/2}} \right]_0^\infty, \\
 &= -Qh \left[ \frac{-1}{\infty} - \frac{-1}{h} \right] = -Q.
 \end{aligned}$$

$r^2 + h^2 = U$   
 $2r dr = dU$   
 $\frac{dU}{2U^{3/2}} = \frac{-2r}{2U^{3/2}} = \frac{-1}{U^{3/2}}$



## Dos esferas conductoras

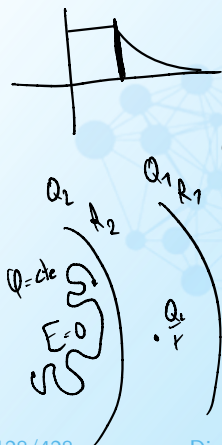
Encuentre el potencial eléctrico en todo el espacio para la siguiente configuración de dos esferas conductoras concéntricas



# SOLUCIÓN III.I.1 ESFERA INTERIOR

$$\epsilon_0 \frac{Q}{4\pi r^2}$$

- El potencial eléctrico debido a la esfera interior de radio  $R_2$  y carga  $Q_2$  es



$$\varphi_2(r) = \begin{cases} \frac{Q_2}{R_2}, & \text{para } 0 < r < R_2, \\ \frac{Q_2}{r}, & \text{para } R_2 < r < R_1, \\ \frac{Q_2}{r}, & \text{para } R_1 < r. \end{cases}$$

$$\varphi_1 = \varphi_1 + \varphi_2$$



- El potencial eléctrico debido a la esfera exterior de radio  $R_1$  y carga  $Q_1$  es

$$\varphi(r) = \begin{cases} \frac{Q_1}{R_1}, & \text{para } 0 < r < R_2, \\ \frac{Q_1}{R_1}, & \text{para } R_2 < r < R_1, \\ \frac{Q_1}{r}, & \text{para } R_1 < r. \end{cases}$$





$$\frac{Q_1}{r}$$



- Superpongamos ambos potenciales

Regiones:	$0 < r < R_2$	$R_2 < r < R_1$	$R_1 < r$
Esfera interior	$\frac{Q_2}{R_2}$	$\frac{Q_2}{r}$	$\frac{Q_2}{r}$
Esfera exterior	$\frac{Q_1}{R_1}$	$\frac{Q_1}{R_1}$	$\frac{Q_1}{r}$
La suma	$\frac{Q_1}{R_1} + \frac{Q_2}{R_2}$	$\frac{Q_1}{R_1} + \frac{Q_2}{r}$	$\frac{Q_1 + Q_2}{r}$



- El potencial eléctrico total debido a ambas esferas es

$$\varphi(r) = \begin{cases} \frac{Q_1}{R_1} + \frac{Q_2}{R_2}, & \text{para } 0 < r < R_2, \\ \frac{Q_1}{R_1} + \frac{Q_2}{r}, & \text{para } R_2 < r < R_1, \\ \frac{Q_1 + Q_2}{r}, & \text{para } R_1 < r. \end{cases}$$



- El campo eléctrico total debido a ambas esferas es

$$E = -\nabla\phi$$

$$\vec{E}(r) = \begin{cases} \vec{0}, & \text{para } 0 < r < R_2, \\ \frac{Q_2}{r^2} \hat{r}, & \text{para } R_2 < r < R_1, \\ \frac{Q_1 + Q_2}{r^2} \hat{r}, & \text{para } R_1 < r. \end{cases}$$

$$\Theta\left(\frac{\partial\phi}{\partial r} \hat{r}\right) \left\{ \begin{array}{l} \frac{Q_1 + Q_2}{r} \\ + \frac{Q_1 + Q_2}{r^2} \hat{r} \end{array} \right.$$

$$\nabla f = \frac{\partial f}{\partial r} \hat{r} + \frac{1}{r} \frac{\partial f}{\partial \theta} \hat{\theta} + \frac{1}{r \sin \theta} \frac{\partial f}{\partial \varphi} \hat{\varphi},$$



## SOLUCIÓN III.I.VI SOBRE LAS ESFERA

- El potencial sobre la esfera exterior es

$$\varphi_e = \frac{Q_1 + Q_2}{R_1} .$$

- El potencial sobre la esfera interior es

$$\varphi_i = \frac{Q_1}{R_1} + \frac{Q_2}{R_2} .$$

- Si las dos esferas contienen la misma cantidad de carga pero de signos contrarios  $Q_1 = -Q_2$ . **El campo eléctrico** es distinto de cero solamente en el espacio entre ellas.



## PROBLEMAS DE CONTORNO

$$\nabla^2 V = 0$$



Problemas de contorno  
de valor inicial  
etc.

- Existen algunos métodos generales para tratar los problemas de contorno, es decir, encontrar el potencial electrostático dada ciertas condiciones de contorno.
- A continuación, ilustraremos tres métodos, de los varios que existen, para enfrentar este problema.



# TRES MÉTODOS A ILUSTRAR

- Representación conforme. Un método analítico en dos dimensiones.
- Métodos de relajación. Un de los método numérico más usados para resolver este problema.
- Método de mínima energía, un método variacional.



Expansión en series analítico  
Diferencia finita numérico



## OTROS MÉTODOS DE SOLUCIÓN

- Los anteriores no son los únicos métodos de solución, existen otros métodos tanto analíticos como numéricos para enfrentar este problema.
- Como ejemplo de otro método analítico tenemos la expansión en funciones ortogonales y como ejemplo de otro método numérico tenemos las diferencias finitas.



- Es un método basado en la **teoría de funciones complejas**.
- Toda función compleja  $F(z) = F(x + iy) = F(x, y)$ , se pueden separar en una función que es la parte real,  $u(x, y)$ , y otra que es su parte imaginaria,  $v(x, y)$ . Tal que  $F(x, y) = u(x, y) + iv(x, y)$ .
- Se puede demostrar que si la función  $F(z)$  es analítica (diferenciable), cada una de las funciones  $u(x, y)$  y  $v(x, y)$  satisfacen una ecuación de Laplace en dos dimensiones.



- Como las funciones  $u(x, y)$  y  $v(x, y)$  satisfacen una ecuación de Laplace en dos dimensiones ellas son armónicas.

## Ecuación de Laplace en dos dimensiones

$$\frac{\partial^2 u(x, y)}{\partial x^2} + \frac{\partial^2 u(x, y)}{\partial y^2} = 0, \quad \frac{\partial^2 v(x, y)}{\partial x^2} + \frac{\partial^2 v(x, y)}{\partial y^2} = 0.$$



- Lamentablemente, este método es **sólo aplicable a sistemas de dos dimensiones**.
- Sin embargo, hay muchos sistemas que pueden ser reducido a dos dimensiones, por ejemplo: cilindros en los cuales no hay variación sobre el eje  $z$  o problemas rectangulares como planos infinito.

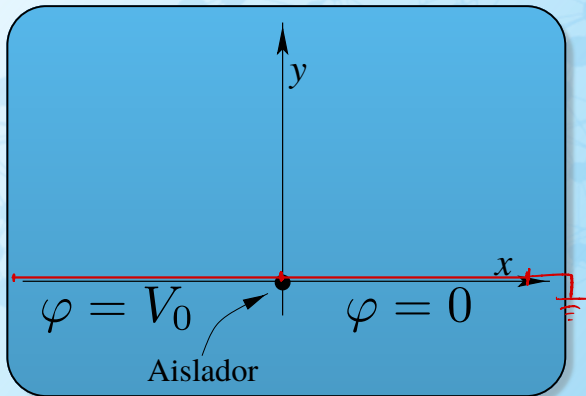


- Una aplicación  $F$  es **conforme** si mantiene los ángulos orientados. Es decir, si dos curvas  $C_1, C_2$  formaban un ángulo  $\phi_1$  en un punto  $z$  entonces sus respectivas imágenes bajo  $F$ , digamos  $C'_1$  y  $C'_2$  forman el mismo ángulo en el punto  $z'$ , que es la imagen de  $z$ .
- **La idea** es encontrar una aplicación conforme que nos permita transformar las condiciones de borde del problema original a unas que nos resulten más fáciles para resolver.



## UN EJEMPLO DE MAPEO CONFORME

- Consideremos el siguiente problema: encontrar el potencial eléctrico en el plano superior ( $y > 0$ ) con las condiciones de contorno especificadas en la figura.



- Representamos cualquier punto del plano  $(x, y)$  por un complejo de la forma  $z = x + iy$  o bien en su forma polar  $z = re^{i\theta}$ .
- Planteamos el mapeo <sup>la aplicación</sup> conforme  $w$ , es decir, una función de los  $\mathbb{C} \rightarrow \mathbb{C}$  que preserva los ángulos orientados,

## Ecuación de Laplace en dos dimensiones

$$w(z) = u(z) + iv(z) = \text{Log } z = \text{Log } re^{i\theta} = \text{Log } r + i\theta .$$



- Representamos cualquier punto del plano  $(x, y)$  por un complejo de la forma  $z = x + iy$  o bien en su forma polar  $z = re^{i\theta}$ .
- Planteamos el mapeo conforme  $w$ , es decir, una función de los  $\mathbb{C} \rightarrow \mathbb{C}$  que preserva los ángulos orientados,

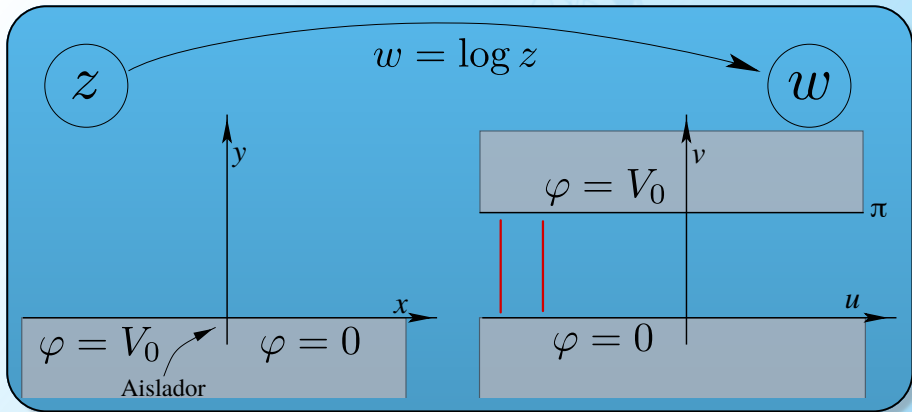
## Ecuación de Laplace en dos dimensiones

$$w(z) = u(z) + iv(z) = \text{Log } z = \text{Log } re^{i\theta} = \text{Log } r + i\theta .$$

Entonces el problema se mapea en ...



# SOLUCIÓN EN EL PLANO TRANSFORMADO



## LA SOLUCIÓN EN EL PLANO $w$

- La primera semirrecta  $\theta = 0 \longrightarrow v = 0$ .
- La segunda semi-recta  $\theta = \pi \longrightarrow v = \pi$ .
- la solución en el plano  $w$  es

$$\varphi(u, v) = \frac{V_o}{\pi} v = \frac{V_o}{\pi} \theta, \quad \text{con } 0 \leq \theta \leq \pi.$$



- En términos de las coordenadas cartesianas

## La Solución

$$\varphi(x, y) = \frac{V_o}{\pi} \arctan \frac{y}{x}$$

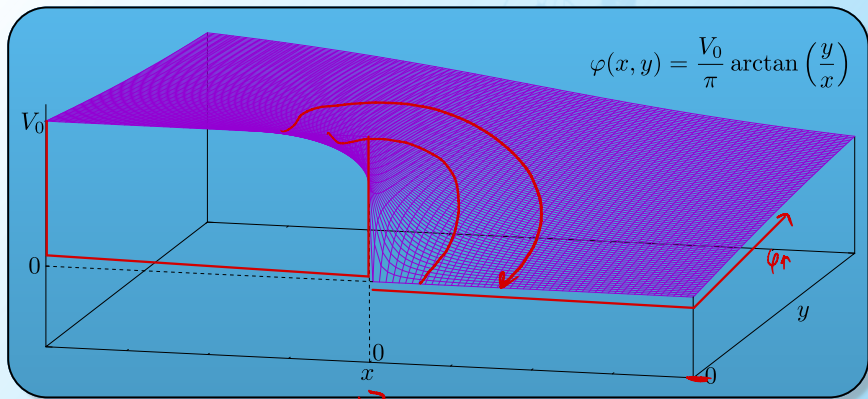


# CHEQUANDO LA SOLUCIÓN

$$\begin{aligned}
 \nabla^2 \varphi &= \frac{\partial^2 \varphi(x, y)}{\partial x^2} + \frac{\partial^2 \varphi(x, y)}{\partial y^2}, \\
 &= \frac{\partial^2}{\partial x^2} \frac{V_o}{\pi} \arctan \frac{y}{x} + \frac{\partial^2}{\partial y^2} \frac{V_o}{\pi} \arctan \frac{y}{x}, \\
 &= \frac{V_o}{\pi} \left[ \frac{\partial}{\partial x} \left( \frac{\frac{-y}{x^2}}{\left(\frac{y}{x}\right)^2 + 1} \right) + \frac{\partial}{\partial y} \left( \frac{\frac{1}{x}}{\left(\frac{y}{x}\right)^2 + 1} \right) \right], \\
 &= \frac{V_o}{\pi} \left[ \frac{\partial}{\partial x} \left( \frac{-y}{y^2 + x^2} \right) + \frac{\partial}{\partial y} \left( \frac{x}{y^2 + x^2} \right) \right], \\
 &= \frac{V_o}{\pi} \left[ \frac{2xy}{(y^2 + x^2)^2} + \frac{-2xy}{(y^2 + x^2)^2} \right] = 0.
 \end{aligned}$$



# GRAFICANDO LA SOLUCIÓN



- Existen **métodos numéricos** para encontrar, en forma aproximada, el potencial electrostático con ciertos valores de contorno dados.
- Un método simple y casi universalmente aplicable corresponde al **Método de Relajación**, que está basado en el hecho de que para una función armónicas su valor en un punto es igual al valor promedio sobre una esfera en torno al punto.



## ALGORITMO DEL MÉTODO



- En este método discretizamos el espacio  $\vec{x}_i$  y definimos el potencial sobre ese conjunto discreto de puntos,  $\varphi(\vec{x}_i)$ .

- Todos los valores (salvo el contorno que está fijo al valor de la condición dada) se ajustan tal que cumplan con el promedio de los valores vecinos.



- **Iteramos** este proceso hasta que los cambios sean despreciables (o tan pequeños como se quiera, teniendo en cuenta la precisión numérica).



# EJEMPLO DE RELAJACIÓN

- Consideremos el problema de encontrar numéricamente el potencial para un sistema unidimensional con las condiciones de borde especificadas en la figura.



$x = 0$	$x = 10$
-----	
$\varphi(x = 0) = 0$	$\varphi(x = 10) = 10$



- La ecuación de Laplace en una dimensión

$$\frac{d^2\varphi(x)}{dx^2} = 0 \implies \frac{d\varphi(x)}{dx} = a \implies \varphi(x) = ax + b ,$$

donde  $a$  y  $b$  son constantes a determinar imponiendo las condiciones de contorno.

- La condiciones de borde

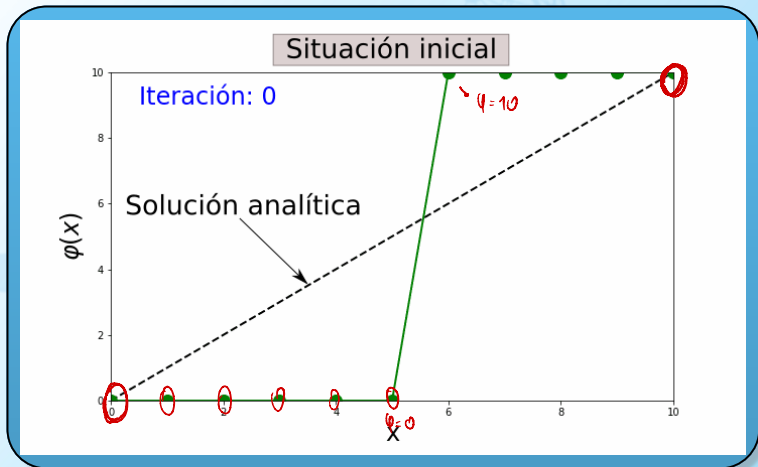
$$\varphi(0) = 0 \implies b = 0 , \quad \varphi(10) = 10 \implies a = 1 .$$

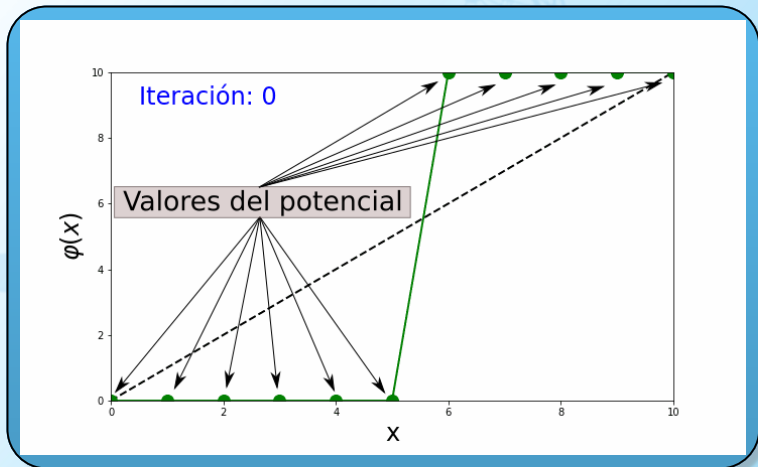
- La solución analítica del problema es

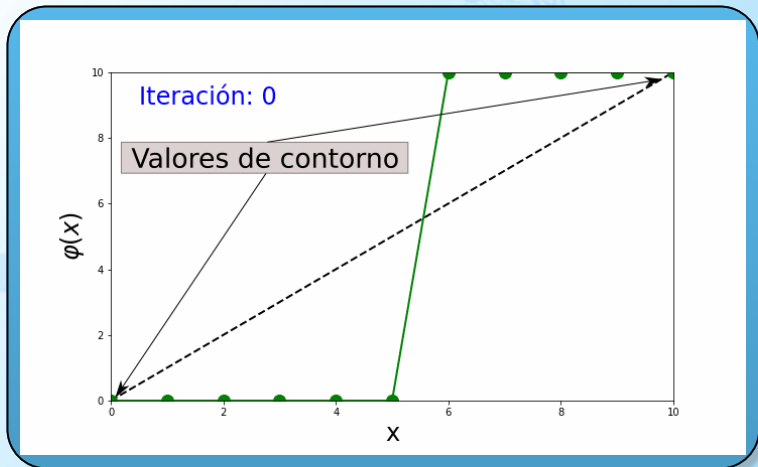
$$\varphi(x) = x$$

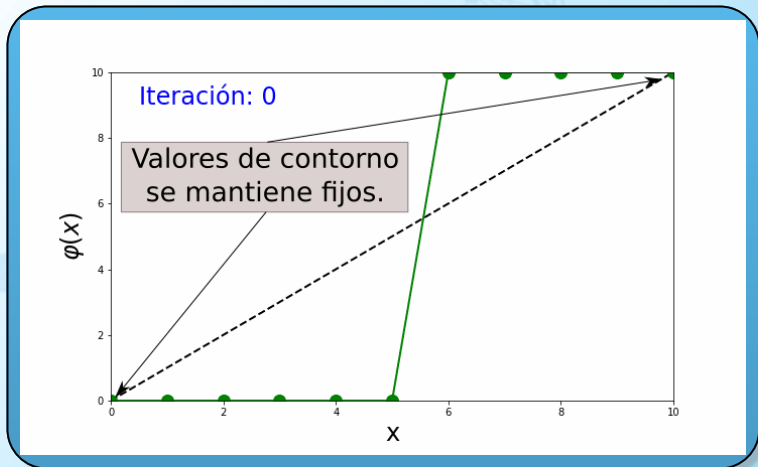


# LA SOLUCIÓN NUMÉRICA I







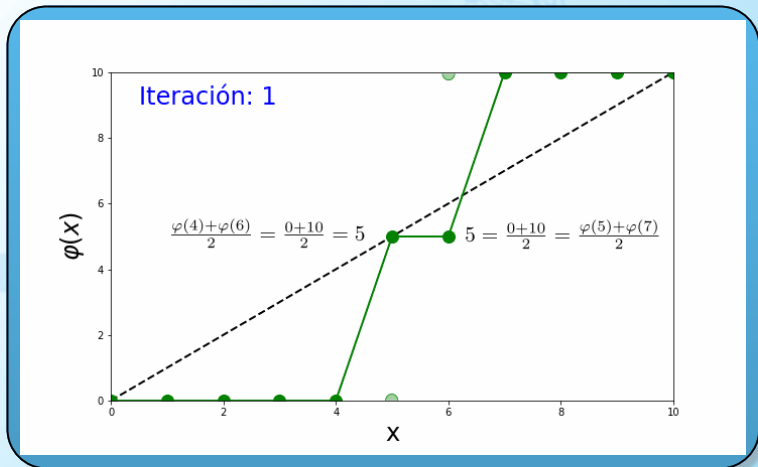


```

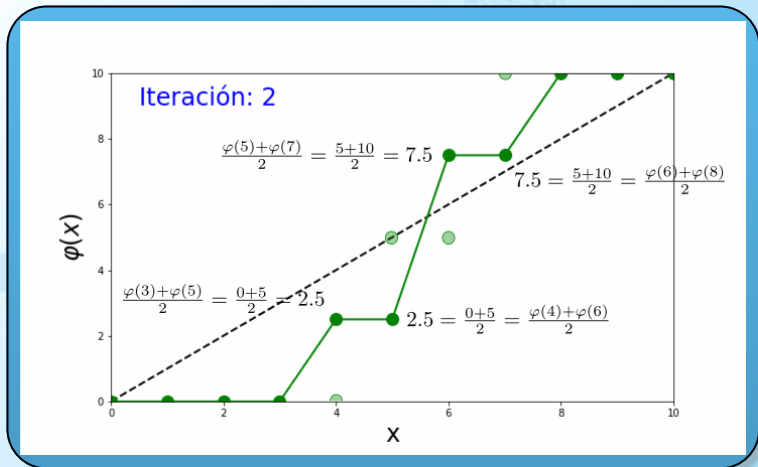
1 # Implementación del algoritmo de relajación en 1D
2
3 import numpy as np
4
5 Xi = np.array([0,1,2,3,4,5,6,7,8,9,10])
6 Y0 = np.array
7     ([0.0,0.0,0.0,0.0,0.0,0.0,10.0,10.0,10.0,10.0,10.0])
8
9 Yi = [yi for yi in Y0]
10
11 for i in range(100):
12
13     print(f"Iteración {i:<3d}, {Yi:}")
14     y = [yi for yi in Y0]
15
16     for j in range(1,len(Yi)-1) :
17         y[j] = (Yi[j-1]+Yi[j+1])/2
18
19     for j in range(len(Yi)):
20         Yi[j] = y[j]
  
```



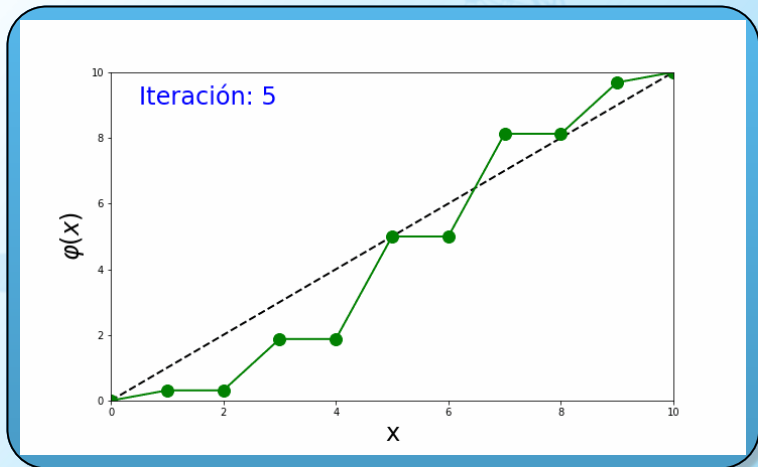
# PRIMERA ITERACIÓN



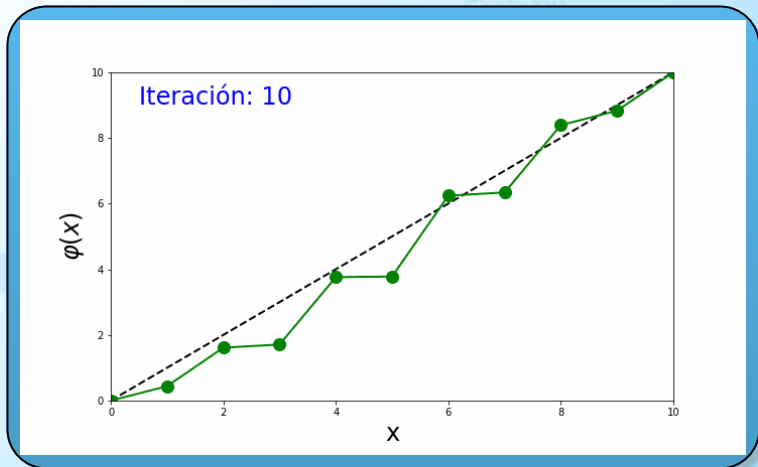
# SEGUNDA ITERACIÓN

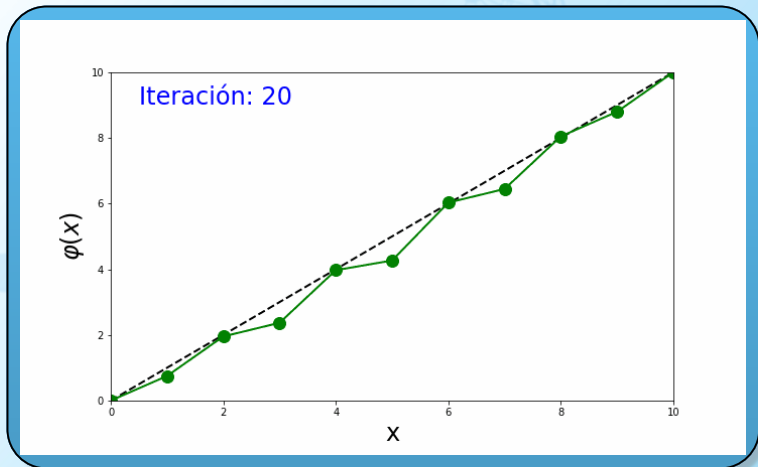


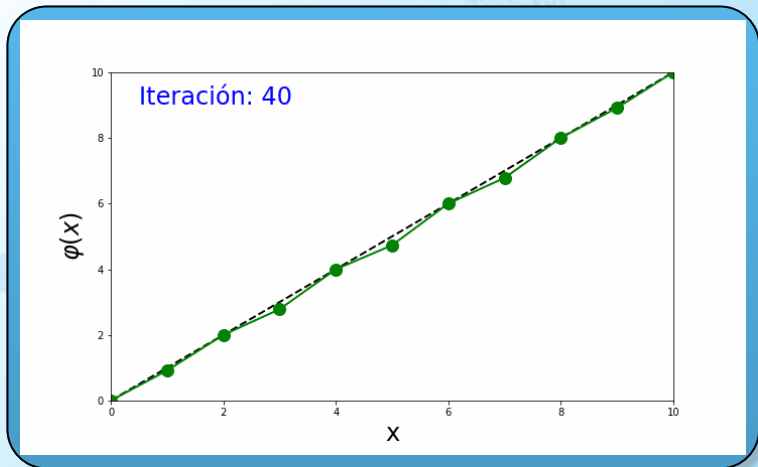
# ITERACIÓN 5



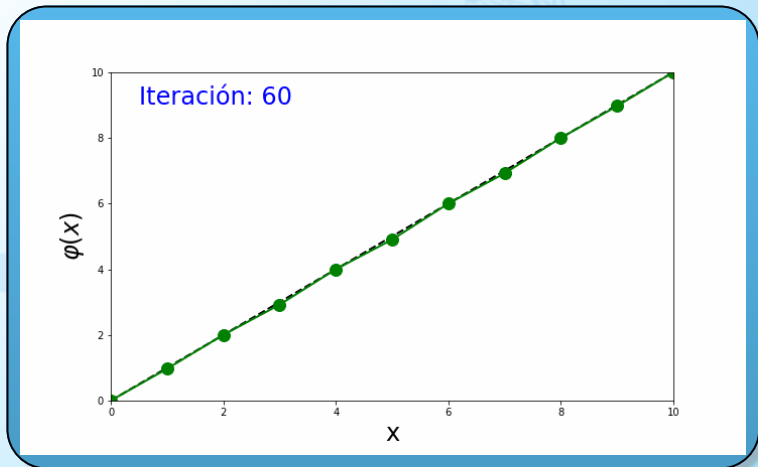
# ITERACIÓN 10



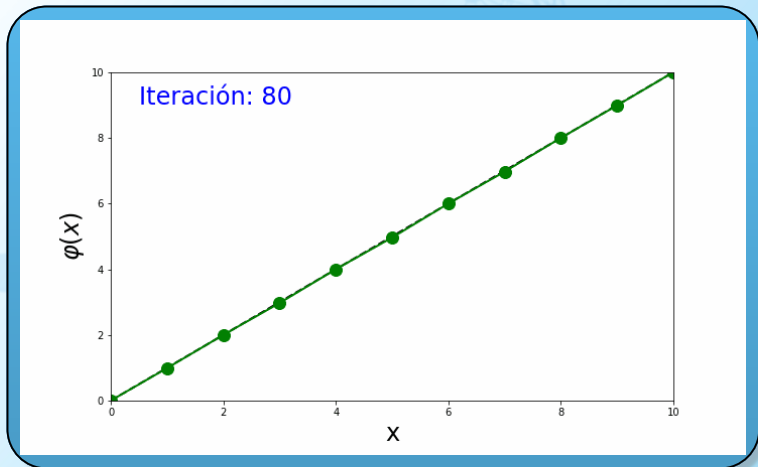


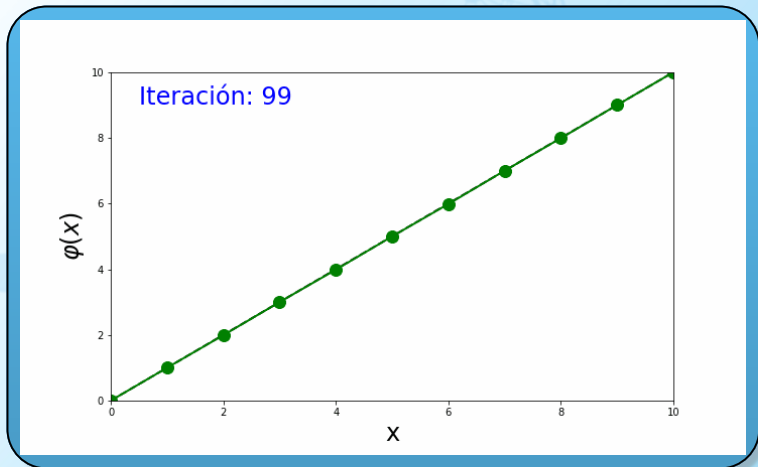


# ITERACIÓN 60

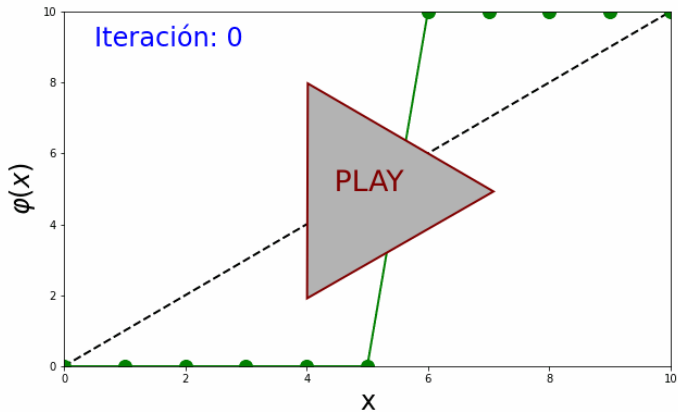


# ITERACIÓN 80

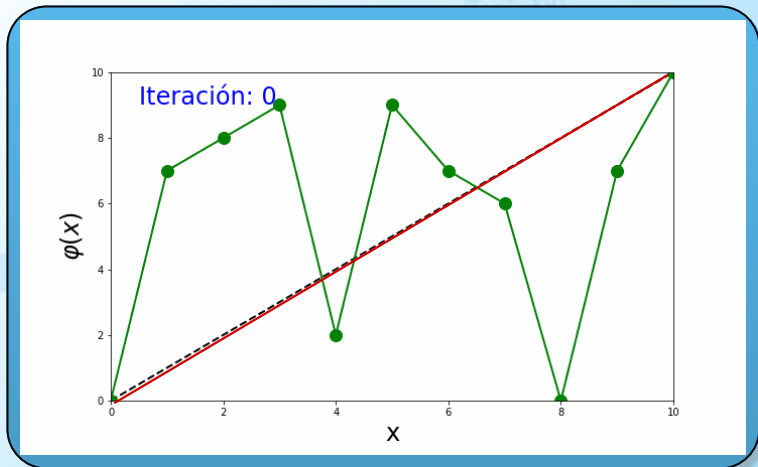




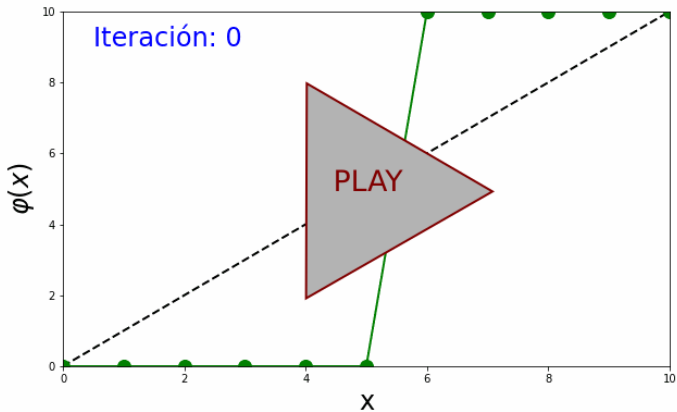
# PROCESO DE RELAJACIÓN



# OTRA CONDICIÓN INICIAL



# NUEVO PROCESO DE RELAJACIÓN

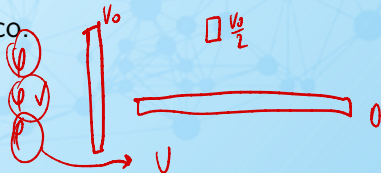


- Si consideramos la energía de un sistema electrostático, como un funcional del potencial eléctrico:

$$U = \frac{1}{8\pi} \int |\vec{\nabla}\varphi|^2 dv$$

$\vec{E} = -\vec{\nabla}\varphi$       $E^2 = \epsilon$

- Enunciado como **principio variacional**: el funcional de la energía será mínimo cuando  $\varphi$ , que debe satisfacer las condiciones de borde, sea la solución al problema físico.



- Entre más se aproximan la función de prueba a la solución del problema menor será  $U$ .
- Podemos elegir una familia paramétrica de funciones de prueba que satisfagan las condiciones de borde y variar los parámetros hasta encontrar el mínimo.
- Si la familia de prueba elegida incluye entre sus miembros la solución del problema físico, cuando minimicemos la encontraremos.



- Con las siguientes condiciones de borde

$$\begin{array}{ccc}
 x = 0 & & x = d \\
 | & \text{-----} & | \\
 \varphi(x = 0) = 0 & & \varphi(x = d) = V_0
 \end{array}$$



- La ecuación de Laplace en una dimensión

$$\frac{d^2\varphi(x)}{dx^2} = 0 \implies \frac{d\varphi(x)}{dx} = a \implies \varphi(x) = ax + b ,$$

donde  $a$  y  $b$  son constantes a determinar imponiendo las condiciones de contorno.

- La condiciones de borde

$$\varphi(0) = 0 \implies b = 0 , \quad \varphi(d) = V_0 \implies a = \frac{V_0}{d} .$$

- La solución analítica del problema es

$$\varphi(x) = V_0 \frac{x}{d}$$



- Consideremos la siguiente familia de funciones de prueba

$$\psi_\alpha(x) = V_0 \frac{x^2}{d^2} + \alpha x(x-d),$$

$\psi(\alpha=1)$   
 $\psi(\alpha=2)$   
 $\psi(\alpha=3)$

donde  $\alpha$  es un parámetro.

el parámetro

$$V_0 \frac{x^2}{d^2} + \alpha x(x-d) \quad \left. \vphantom{V_0 \frac{x^2}{d^2} + \alpha x(x-d)} \right\} \psi = V_0 \frac{x^2}{d^2}$$

- Verificamos que las condiciones de borde son satisfechas  $\psi_\alpha(0) = 0$  y  $\psi_\alpha(d) = V_0$ .



$$\psi = V_0 \frac{d^2}{d^2} + \alpha x(d-d)$$



# EL MÓDULO CUADRADO DEL GRADIENTE

$$\int |\nabla \psi|^2 dx$$

$$\psi_\alpha(x) = V_o \frac{x^2}{d^2} + \alpha x^2 - \alpha dx,$$

$$\vec{\nabla} \psi_\alpha = \frac{\partial \psi}{\partial x} \hat{x} = \left( 2V_o \frac{x}{d^2} + 2\alpha x - \alpha d \right) \hat{x},$$

$$|\vec{\nabla} \psi_\alpha|^2 = \left| 4 \left( \frac{V_o}{d^2} + \alpha \right)^2 x^2 - 4 \left( \frac{V_o}{d^2} + \alpha \right) \alpha dx + \alpha^2 d^2 \right|.$$



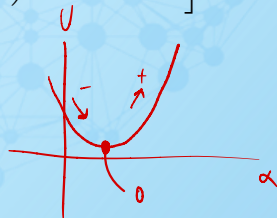
$$U = \frac{1}{8\pi} \int |\vec{\nabla}\psi_\alpha|^2 dv ,$$

$$U = \frac{1}{8\pi} \int_0^d \left[ 4 \left( \frac{V_o}{d^2} + \alpha \right)^2 x^2 - 4 \left( \frac{V_o}{d^2} + \alpha \right) \alpha dx + \alpha^2 d^2 \right] dx ,$$

$$U = \frac{1}{8\pi} \left[ \frac{4}{3} \left( \frac{V_o}{d^2} + \alpha \right)^2 d^3 - 2 \left( \frac{V_o}{d^2} + \alpha \right) \alpha d^3 + \alpha^2 d^3 \right] ,$$

$$U(\alpha) = \frac{1}{8\pi} \left[ \frac{4}{3} \frac{V_o^2}{d} + \frac{2}{3} V_o d \alpha + \frac{1}{3} d^3 \alpha^2 \right] .$$

$$\left( \frac{V_o}{1+k} \right)^2 + (2+k^2)x^2$$



- Para buscar el mínimo, derivamos el funcional respecto al parámetro  $\alpha$  e igualamos a cero,

$$\frac{\partial U}{\partial \alpha} = \frac{1}{8\pi} \left[ \frac{2}{3} V_o d + \frac{2}{3} d^3 \alpha \right] = 0 .$$

- Al resolver para  $\alpha$ .

$$V_o d + d^3 \alpha = 0 \implies \alpha = -\frac{V_o}{d^2} .$$

- Al reemplazar en la solución

$$\begin{aligned}\psi_{\alpha_{\min}}(x) &= V_o \frac{x^2}{d^2} + \alpha x(x - d) \\ &= \cancel{V_o \frac{x^2}{d^2}} - \cancel{V_o \frac{x^2}{d^2}} + \cancel{V_o \frac{xd}{d^2}} + V_o \frac{x}{d}\end{aligned}$$

**La Solución**

$$\psi_{\alpha_{\min}}(x) = V_o \frac{x}{d} = \varphi(x)$$

